

感應法

賀永康編

中国工业出版社

西廬法

卷之三

大藏書庫

感應法

賀永康編

中国工业出版社

这本小册子着重介绍了感应法的原理和野外工作方法；叙述了工作中常遇的几种干扰；列举了国内外应用感应法的实例；最后简单讨论了感应法中存在的一些问题。内容比较浅显，可供地质人员和野外物探队从事该方法的初级物探人员参考。

感 应 法

賀 永 康 編

地质部地质书刊编辑部编辑（北京西四羊市大德地质部院内）

中国工业出版社出版（北京市崇文区崇文门西大街10号）

（北京市音像出版业许可证证字第110号）

中国工业出版社第四印刷厂印刷

新华书店北京发行所发行·各地新华书店经售

*
开本787×1092^{1/32}·印张4^{1/3}/16·插页1·字数97,000

1962年11月北京第一版·1962年11月北京第一次印刷

印数0001—2,040·定价(10-5)0.63元

*

统一书号：15165·1466(地质-151)

目 录

緒言.....	5
一、感应法中电磁場的特征	9
(一) 一次場.....	9
(二) 二次場.....	20
二、感应法的理論和實驗基础.....	24
(一) 基本假設.....	24
(二) 良导性板状地质体上方的磁場.....	26
(三) 反演問題的解.....	32
(四) 模型實驗.....	48
三、感应法的野外工作	55
(一) 工作前的准备.....	55
(二) 測量手續.....	57
(三) 仪器.....	60
(四) 野外工作.....	74
四、工作中的干扰来源	88
(一) 地形影响.....	88
(二) 人为导体的干扰.....	94
(三) 非矿的地质干扰.....	98
五、感应法的应用	103
(一) 应用范围和应用条件.....	103
(二) 应用实例.....	104
六、在感应法中值得研究的几个問題	129
(一) 关于工作距离的选择問題.....	129
(二) 关于場的相位结构.....	134

(三) 純異常法.....	139
(四) 方法的勘探深度.....	147
結語	152
参考文献	154

緒 言

在地球物理勘探的电法勘探中，感应法是高頻（工作頻率大于1000赫以上的）方法中的一种。它具有实际应用价值，在某些国家里已經得到比較广泛的应用。它的工作原理非常简单，可以參看图 1。

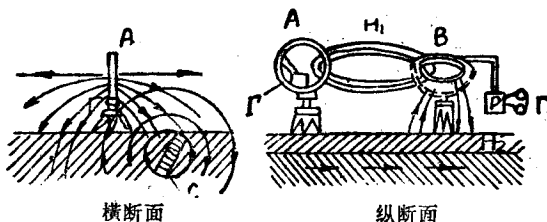


图 1

从图上可以看見，特制的电子管振盪器 (T) 产生按正弦規律变化的高頻（20—100仟赫）电流。电流在框状天綫 (A) 中流动。整套装置都放在地表面，发射的框状天綫垂直地表安放。这样在框状天綫的四周空間（包括地下）便建成高頻的电磁場。因为大地具有导电性，并与空气呈水平分界面，所以地下所生的感应电流对空气中电磁場的分布有影响。框状天綫的辐射具有方向性，磁场强度的分布图好象一个“8”字形（見图 2）。在通过綫框中心的水平面內各个点上的磁场只有水平分量 (H_1)，这种場我們称作一次場。如果地下某一深度賦存有导电性較好的地質体 C （图 1），在一次場的激励下，就在这个地質体中激生感应电动势，并形

成感应电流，这种电流所生的磁场我們称作二次場（或是异常場）。可以在地表离开发射的框状天綫某一距离的点上，用带有测定磁场方向或是磁场强度用的装置来研究磁场的分布状况。这时观测到的数据是上述两种磁场迭加在一起的总效应。测量用的装置为一个框状的接收天綫(*B*)和无线电接收机(*P*)（附有仪表或耳机 Γ ）。接收机的结构要按所測量的是总磁场的方向还是总磁场的强度的分量而有所不同。

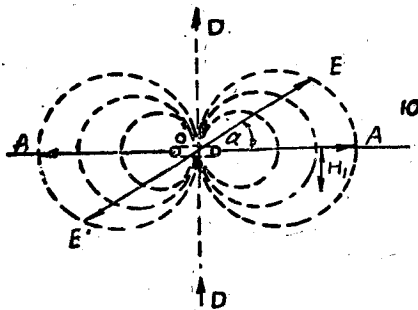


图 2 框形天綫的磁场分布图

一次場的方向是水平的，二次場的方向在地表各点均不一样，所以总磁场的方向在一般的情况下也不是水平的。根据观测結果，知道了总磁场分量强度的分布特征或是总磁场向量的方向变化情况，就能够判断地下有没有导电性良好的金属矿体。

感应法具有它本身的特点，和直流电法勘探（甚至与低频交流电法勘探）有着本質上的不同。目前在实际应用中，还不如直流的与低頻交流的电法勘探那样广泛。但是越来越

多的經驗指出，直流电法并不一定能够完全解决实际工作中的問題，而交流方法（其中包括感应法）却在某些方面比直流电法具有一定的优越性，在高頻方法中又以感应法比干涉法、射綫法、回波法等方法应用得普遍，而且历史經驗也最多。

在苏联的許多地区都曾使用过感应法，并已取得丰富的經驗。由于各地区的情况不同，所获得的地質效果也不一样。一般来講，在科拉半島、北极地区、西伯利亚、中哈薩克等地区，因为那里的基岩和冲积层以及冻土带的电阻率都很高，而硫化矿却具有較大的导电率，所以效果很好；感应法的勘探深度在这里比在苏联其他地区都大，在个别地方曾达到80—100米。在这些地区的地形一般也都很平坦，所以地形影响很小。另外在外貝加尔、中烏拉尔、高加索等地区，在与上述地球物理特征类似的某些地方，也都得到較好的效果。但在那些浮土厚度达几十米、冲积层和围岩电阻率比較低的地方，或是在有强烈地形影响的山区，效果則不太好。

在我国，用感应法完成的工作很少，經驗还不多。但我国地区辽闊，根据苏联的經驗，有利于用感应法工作的地方还是很多的。例如在我国北方，入冬后土壤冻结，使直流电法施工困难的地区，在新疆、甘肃等地砂質沙漠地带，以及浮土很薄、岩石出露面积較多的山地，在这些地区均可以考虑选择感应法来做普查找矿工作。南方某些地区在某些季节里也可以使用感应法。近年来，有的物探队应用感应法已經发现了許多用其他方法沒有发现的矿体。

近十多年来，在感应法的理論研究方面已有很大进展，一些新的仪器已試制成功，对方法的实质已基本上掌握。許多国家已經将感应法用于生产，并且在一定的地质情况下效果都很好。可以确信，随着今后实际經驗的积累，感应法将日臻完善，并将在地质普查勘探工作中發揮更大的作用。

一、感应法中电磁場的特征

(一) 一次場

在感应法工作中，发射机（振盪器）产生的高頻交变电流流通在框状天綫中。这时电磁能量向四周空間輻射，形成激励地下矿体的場源。从馬克士威电磁場方程出发，可以計算在框状天綫四周空間內任何一点的磁場强度。在給定的坐标系里，假定綫框是由四个順序連接的电偶极子所組成（图3），根据馬克士威方程系推导出的公式，可以算出空間任一点(P)上的总磁場在各个坐标軸(x, y, z)方向的分量值。在实际測量时发射机和接收机的位置保持一定。这时接收点

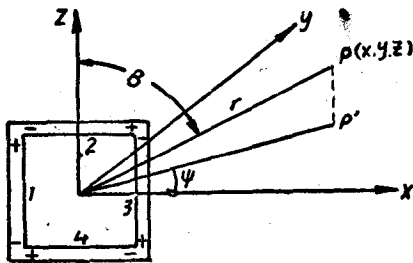


图 3 框状天綫（四个电极子所組成）磁場的决定

位于发射綫框的平面內（在 x 軸上， $\phi=0$ ），接收綫框的軸对准发射綫框的中心（ $\theta=90^\circ$ ），二者之間的距离一般不超过100米。工作中所用的波長为3000—15000米（频率相当于100—20仟赫）。工作距离(r)和波長(λ)相比非常小，即在所謂

邻近带内观测。在这种特殊的情况下，将我们的工作条件代入到从马克士威方程导出来的磁场向量公式中。由于磁场的其他两个分量均为0，只剩下x方向的磁场分量，经过简化，最后可得到在接收点P上磁场强度(H_1)的表达式如下：

$$H_1 = \frac{QS\omega}{r^3} (\cos\omega t) \quad (1)$$

式中 Q ——与发射机功率有关的一个常数（发射机的功率愈大，磁场也愈强）；
 S ——线框面积（线框面积愈大，磁场也越强）；
 ω ——场的圆频率($\omega = 2\pi f$, f 是场的频率)；
 r ——接收点到发射线框的中心距离；
 t ——时间。

上述公式的推导过程很麻烦，我们就不介绍了。实际上当接收距离(r)比线框的线性尺寸(a)大很多时，载电流线框的磁场与放在线框中心、其轴垂直于线框平面的磁偶极子的磁场是等效的①。我们以后者来代替前者，可以求出在接收点的磁场强度，这比上述的方法要简便得多。

设这个等效的磁偶极子水平地安放在发射线框的中心，磁轴垂直于线框平面，它的磁矩为 M 。在任一点的磁场强度便不难利用初等物理学中求磁偶极子的磁场公式计算出来。图4中磁偶极子在P点所生的磁场可以有两个分量 H_r 与 H_θ 。设偶极的长度(l)远较其中心到P点的距离(r)为小，可以导出

$$H_r = \frac{2M \cos\theta}{r^3}, \quad H_\theta = \frac{M \sin\theta}{r^3}$$

① 可参看“电学原理”裴济·亚当斯著，杨肇濂译，227—229页或“电磁波与辐射系统”约教著82—84页。

式中 θ 为 r 与偶极轴的交角，当 $\theta=90^\circ$ 时， $H_\theta=0$

$$H_\theta = \frac{M}{r^3} \quad (2)$$

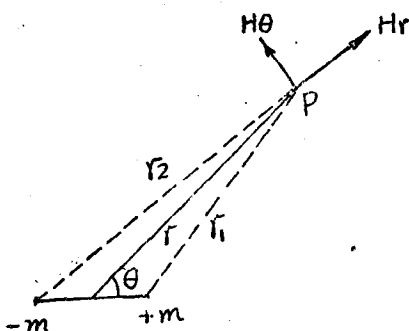


图 4 磁偶极子磁场的决定

但载有电流的小线圈的磁矩(M)是和线框匝数(n)、线框的面积(S)，以及线框中所流动的电流(I)等成正比，因此可以写成：

$$M = K n S I$$

式中 K 为比例常数。

于是(2)式变为：

$$H_\theta = \frac{K n S I}{r^3}, \quad (3)$$

这是在恒定电流稳态的情况下导出来的，实际上线框中的电流为交变电流，因而磁场也是交变的，因此不妨将(3)式

写成

$$H_1 = \frac{Q'S}{r^3} \cos \omega t \quad (4)$$

(4) 式在形式上和 (1) 式一样 (在电流为交变电流时 Q' 里面已包括了 ω)。

由此得出結論：一次場是与接收距离 (r) 的立方成反比，与綫框面积 (S) 以及发射机的功率大小成正比。綫框面积不能太大 (太大了携带不方便)，发射机的功率也不宜太大 (太大了电能消耗多，携带也不便)，所以增大一次場不能單純地依靠增大 S 、 I 等来实现，最好是尽可能提高接收机的灵敏度。

應該指出，发射綫框的电磁能量輻射的强度是有方向性的：通过綫框中心、垂直于綫框平面方向的磁場强度最弱，位于綫框平面方向的磁場强度最强。在通过綫框中心的水平面內，在与中心对称的各个点上以各个方向所画的向径的长度代表該方向的磁場强度。联結这些向径的末端，就得到“8”字形的曲綫。由图 2 可以看到，在发射綫框面上 (AA' 方向) 的发射能量最大，而在垂直于发射綫框面 (DD' 方向) 的发射能量最小。在其他方向上能量发射的大小是与該点的向径方向和綫框面交角 (α) 的余弦成正比的，例如在 E 点的場强：

$$\overline{EO} = \overline{AO} \cos \alpha$$

\overline{EO} 与 \overline{AO} 分别表示在 EO 和 AO 方向的場强，当 $\alpha=0^\circ$ 时 $\overline{EO} = \overline{AO}$ ，当 $\alpha=90^\circ$ 时 $\overline{EO}=0$ 。

所以在工作中接收綫框总是放在 AA' 線上，也就是在发

射綫框平面內，而且照准发射綫框的中心。在野外所有觀測過程中，永遠保持在這種情況下進行觀測。

當電磁波通過的不是真空中而是任何其他介質時，電磁場作用在帶電的質點上，例如組成物質的電子上。這些帶電質點受迫振盪，電磁能量的一部分便被轉換成為熱能，引起電磁波的衰減，也就是介質對電磁能量的吸收。電磁波在介質中傳播時，由於介質導電性質的不同，而有著不同的影響，所以上面表達一次場強度的公式只適用於在真空中（或空氣）里發射的情況，否則電磁波的特性就會發生變化，不僅場的強度有大的改變，而且產生場的相位移。在我們目前工作中，把相位移的影響當成干擾因素看待，不象在某些低頻電法中把場的相位移看成是一種和電磁場強度一樣的參數。測定場的相位差早已形成一種新的找礦方法的物理依據，應用場的相位結構雖是感應法的遠景，但現在還沒有用於實踐。

我們知道，電磁波在半導電介質中傳播時，電磁場的分量的振幅值是按指數規律衰減的。

$$E = E_0 e^{-br} \quad H = H_0 e^{-br} \quad (5)$$

式中 E_0 、 H_0 是電磁波在真空中傳播時電場和磁場強度的振幅值； E 和 H 是它們進入介質中 r 深度以後相應的振幅值； e 為自然對數的底； b 是介質的吸收系數。 b 決定於介質的導電率 σ 、介電常數 ϵ 和電磁振盪的頻率 f ，可以用下面的公式表達：

$$b = \frac{2\pi f}{C} \sqrt{\epsilon \mu} \sqrt{-\frac{1}{2} + \frac{1}{2} \sqrt{1 + \left(\frac{-2\sigma}{\epsilon f}\right)^2}} \quad (6)$$

式中 μ 為介質的導磁率，在感應法工作中取它等於單位值； C 為真空中的光速，這裡 σ 是以 CGSE 單位來表示的。（6）式的

推演也相当麻烦，在理论电工学或无线电波传播的教本中都讲到，我们这里不准备推演。现在只对控制吸收系数 b 的几个因素加以定性的讨论。

不难看出，导电率等于零时，吸收系数也等于零；导电率增大，吸收系数增大；频率增高，吸收系数也增大。

试就在两种特殊的情况下来看：

1. 当 $\frac{2\sigma}{\epsilon f} \ll 1$ ，也就是说位移电流占优势时，吸收系数可以相当精确地用下式确定：

$$b = \frac{2\pi\sigma}{G\sqrt{\epsilon}} \text{ 厘米}^{-1}$$

2. 当 $\frac{2\sigma}{\epsilon f} \gg 1$ ，也就是说传导电流居优势时，吸收系数 b 将等于：

$$b = \frac{2\pi}{G} \sqrt{f\sigma} \text{ 厘米}^{-1}$$

从上面的公式可知，吸收系数与频率和导电率的乘积的平方根成正比。因此在同样的频率下，介质的导电率愈小，吸收系数也愈小，而波穿透介质的深度愈大。

根据公式(6)，设岩石的介电常数(ϵ)等于10， $\mu=1$ 。如果岩石的导电率 $\sigma (= \frac{1}{\rho})$ 为某一定值，在不同的频率下，吸收系数将有不同的值。可以作出一条频率与吸收系数的关系曲线。岩石导电率为各种不同值时，可以得到一系列的这种关系曲线，见图5。工作中习惯上常用岩石的电阻率(以欧

姆米作单位) 来代替岩石的导电率, σ 与 ρ 之间的关系为:
 $\sigma \cdot \rho = 9 \times 10^9$, 图 5 中是用 ρ 来代替 σ 画成的。

从图 5 可看出, b 随 f 的增加而增大, 频率增高到某一定值时, b 停止增大, 而趋近一渐近线。比较不同的曲线, 发现岩石的电阻率越大, 趋近渐近线也越快(图中 $\rho = 900$ 欧姆米的曲线比 $\rho = 90$ 欧姆米的曲线趋近渐近线要快)。

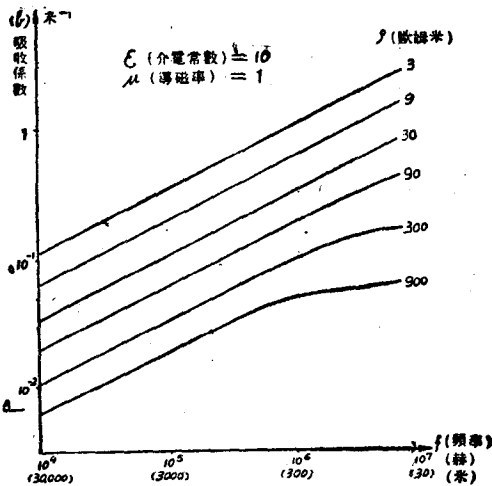


图 5 不同电阻率的岩石的吸收系数与场的频率的关系曲线图

在以上的讨论中, 介电常数 ϵ 、导磁率 μ 、导电率 σ 在感应法工作频率范围内都是常数, 不随频率的改变而改变。但在更高的频率范围时, 它们就不再是常数。实验证明, 这种情况发生在频率高于 10^7 赫以上的时候。我们实际工作所用的频率不超过 10^5 赫, 所以 ϵ 、 μ 、 σ 基本上都作为常数。